

Задача 4

Кирилл Васильевич Новоселов

19 ноября 2022 г.

1. Постановка задачи

Смоделировать дорожку Кармана, при помощи решения нестационарного уравнения Навье-Стокса. Рассмотрим нестационарное уравнение Навье-Стокса и регуляризованное уравнение неразрывности

$$\begin{cases} \rho \frac{\partial \mathbf{u}}{\partial t} + \rho(\mathbf{u} \cdot \nabla) \mathbf{u} - \mu \Delta \mathbf{u} + \nabla p = 0 \\ \varepsilon p + \operatorname{div} \mathbf{u} = 0, \end{cases}$$

где ε имеет смысл слабой сжимаемости, в области Ω с условиями прилипания на стенках и на круглом препятствии

$$\mathbf{u}|_{\Gamma_{wall}} = 0,$$

заданным профилем скорости на Γ_{in}

$$u(y)|_{\Gamma_{in}} = u_0 + \varepsilon \sin(t) \cos(y/H).$$

На выходе было поставлено условие свободного стока :

$$p|_{\Gamma_{out}} = p_0 - \text{давление равно давлению окружающего воздуха,}$$

$$v = 0 - \text{течение горизонтальное,}$$

$$\frac{du}{dt} = 0 - \text{горизонтальная компонента сохраняется в частице.}$$

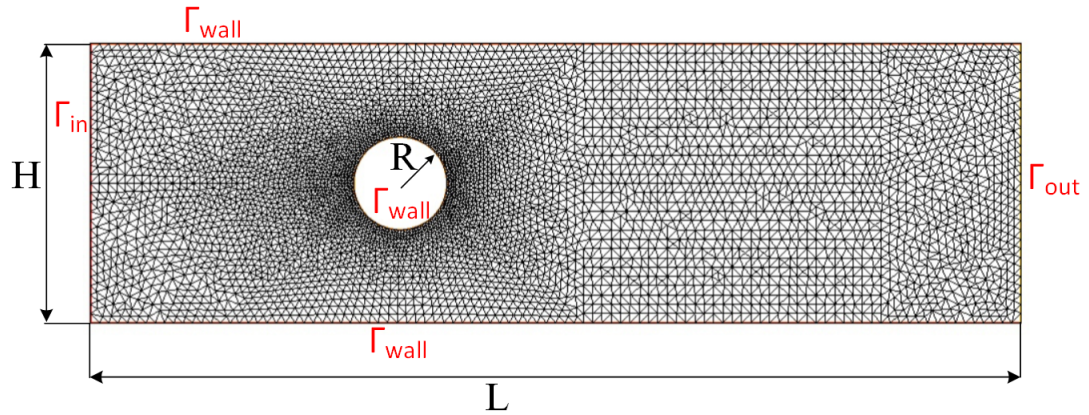


Рис. 1.1: Расчетная область. $H = 3$ м, $L = 10$ м, $R = 0.5$ м

2. Слабая постановка

Подействуем на нашу систему уравнений пробной функцией (Ψ, q)

$$\begin{cases} \int_{\Omega} (\rho \frac{\partial \mathbf{u}}{\partial t} \cdot \Psi + \rho(\mathbf{u} \cdot \nabla) \mathbf{u} \cdot \Psi - \mu \Delta \mathbf{u} \cdot \Psi + \nabla p \cdot q) = 0 \\ \int_{\Omega} (\varepsilon p \cdot q + \operatorname{div} \mathbf{u} \cdot q) = 0, \end{cases}$$

Вычтем одно уравнение из другого и перебросим действия векторных операторов на пробные функции, тогда получим итоговый вид слабой постановки

$$\begin{aligned} \int_{\Omega} (\rho \frac{\partial \mathbf{u}}{\partial t} \cdot \Psi + \rho(\mathbf{u} \cdot \nabla) \mathbf{u} \cdot \Psi + \mu \nabla \mathbf{u} : \nabla \Psi - p \operatorname{div} \Psi - \varepsilon p \cdot q - \operatorname{div} \mathbf{u} \cdot q) dx dy + \\ + \int_{\Gamma_{out}} \psi_1 \left(p - \mu \frac{du_1}{dx} \right) ds = 0, \end{aligned}$$

для любых Ψ таких, что $\Psi = 0$ на $\Gamma_{wall}, \Gamma_{in}$ и $\psi_2 = 0$ на Γ_{out} .

В качестве аппроксимации субстанциональной производной использовалась функция `convect`

$$\begin{aligned} \rho \frac{d\mathbf{u}(\mathbf{x}, t)}{dt} &= \rho \frac{\partial \mathbf{u}(\mathbf{x}, t)}{\partial t} + \rho(\mathbf{u}(\mathbf{x}, t) \cdot \nabla) \mathbf{u}(\mathbf{x}, t) \approx \\ &\rho \frac{\mathbf{u}(\mathbf{x}, t^{n+1}) - [\operatorname{convect}(v_1(\mathbf{x}, t^n), v_2(\mathbf{x}, t^n), -\Delta t, u(\mathbf{x}, t)), \operatorname{convect}(v_1(\mathbf{x}, t^n), v_2(\mathbf{x}, t^n), -\Delta t, v(\mathbf{x}, t))]}{\Delta t} \end{aligned}$$

3. Начальное приближение (задача Стокса)

В качестве начального приближения было выбрано решение задачи Стокса

$$\begin{aligned} \int_{\Omega} \mu \nabla \mathbf{u} : \nabla \psi dx dy - \int_{\Omega} p \operatorname{div} \psi dx dy &= 0 \\ \int_{\Omega} \varepsilon p q dx dy + \int_{\Omega} q \operatorname{div} \mathbf{u} dx dy &= 0 \end{aligned}$$

4. Численный эксперимент

В геометрии данной задачи с начальной скоростью $u_0 = 5$ м/с и давлением на внешней границе $p_0 = 10^5$ Па был проведен численный эксперимент. Шаг по времени был взят 0.1 с, время до которого проводились расчеты равно 40 с. В результате которого, было замечено образование и срывание вихрей после круглого препятствия.

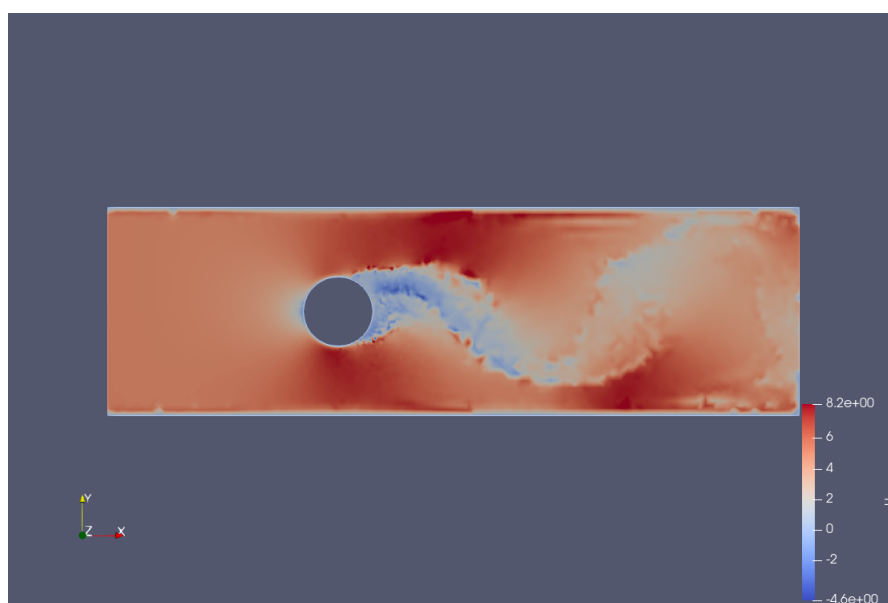


Рис. 4.1: Дорожка Кармана